

## ПЛОСКАЯ ЗАДАЧА ТЕОРИИ ПЛАСТИЧНОСТИ О РАСПРЕДЕЛЕНИИ НАПРЯЖЕНИЙ ВОКРУГ ОТВЕРСТИЙ

Б. В. Соколовский

(Москва)

Метод нахождения напряжений в пластических зонах в окрестности отверстий был предложен С. А. Христиановичем для плоского деформированного состояния и автором — для плоского напряженного состояния. Этот метод приводит к красивым задачам для некоторых систем уравнений гиперболического типа, численное решение которых может быть найдено<sup>[1]</sup>.

Настоящая работа посвящена другому приему определения напряжений вокруг отверстий как при плоском деформированном, так и при плоском напряженном состояниях, который основан на применении тригонометрических рядов.

**§ 1. Плоское деформированное состояние.** Пластическое плоское деформированное состояние описывается компонентами напряжений  $\sigma_x$ ,  $\sigma_y$  и  $\tau_{xy}$ , так как компоненты  $\tau_{xz} = \tau_{yz} = 0$ .

Рассмотрим задачу о распределении напряжений в пластических зонах вокруг отверстия, ограниченного выпуклым гладким контуром, вдоль которого задано равномерно распределенное нормальное давление.

Выведем основные уравнения рассматриваемой задачи.

Дифференциальные уравнения равновесия

$$\frac{\partial \sigma_x}{\partial x} + \frac{\partial \tau_{xy}}{\partial y} = 0, \quad \frac{\partial \tau_{xy}}{\partial x} + \frac{\partial \sigma_y}{\partial y} = 0 \quad (1.1)$$

и условие пластичности

$$(\sigma_x - \sigma_y)^2 + 4\tau_{xy}^2 = 4k^2 \quad (1.2)$$

причем  $k = \sigma_s / \sqrt{3}$  или  $k = \sigma_s / 2$ , а  $\sigma_s$  — предел текучести при простом растяжении, составляют основную систему уравнений пластического плоского деформированного состояния.

Условие (1.2) удовлетворяется, если ввести новые переменные  $\varphi$  и  $\omega$ , связанные с компонентами напряжения следующим образом:

$$\left. \begin{array}{l} \sigma_x \\ \sigma_y \end{array} \right\} = k(\Lambda + 2\omega \pm \cos 2\varphi), \quad \tau_{xy} = k \sin 2\varphi \quad (1.3)$$

где  $\Lambda$  — произвольная, но наперед выбранная постоянная безразмерная величина,  $\varphi$  — угол между наибольшим (в алгебраическом смысле) главным нормальным напряжением и осью  $x$ .

Подставляя выражения (1.3) в уравнения (1.1), получим

$$\frac{\partial \omega}{\partial x} - \sin 2\varphi \frac{\partial \varphi}{\partial x} + \cos 2\varphi \frac{\partial \varphi}{\partial y} = 0, \quad \frac{\partial \omega}{\partial y} + \cos 2\varphi \frac{\partial \varphi}{\partial x} + \sin 2\varphi \frac{\partial \varphi}{\partial y} = 0 \quad (1.4)$$

Произведем замену переменных, принимая за аргументы  $\varphi$  и  $\omega$ , а за искомые функции  $x$  и  $y$ . Формулами преобразования будут

$$\frac{\partial \omega}{\partial x} = \frac{1}{\Delta} \frac{\partial y}{\partial \varphi}, \quad \frac{\partial \omega}{\partial y} = -\frac{1}{\Delta} \frac{\partial x}{\partial \varphi}, \quad \frac{\partial \varphi}{\partial x} = -\frac{1}{\Delta} \frac{\partial y}{\partial \omega}, \quad \frac{\partial \varphi}{\partial y} = \frac{1}{\Delta} \frac{\partial x}{\partial \omega} \quad (1.5)$$

где через  $\Delta$  обозначен определитель преобразования:

$$\Delta = \frac{\partial x}{\partial \omega} \frac{\partial y}{\partial \varphi} - \frac{\partial x}{\partial \varphi} \frac{\partial y}{\partial \omega}$$

Подставим выражения (1.5) в уравнения (1.4) и введем вместо  $x$ ,  $y$  новые переменные  $X$ ,  $Y$ :

$$\begin{aligned} X &= -x \sin \varphi + y \cos \varphi, & Y &= x \cos \varphi + y \sin \varphi \\ x &= -X \sin \varphi + Y \cos \varphi, & y &= X \cos \varphi + Y \sin \varphi \end{aligned} \quad (1.6)$$

Получим следующие уравнения:

$$\frac{\partial X}{\partial \omega} + \frac{\partial Y}{\partial \varphi} - X = 0, \quad \frac{\partial Y}{\partial \omega} + \frac{\partial X}{\partial \varphi} + Y = 0 \quad (1.7)$$

Будем искать частное решение этих уравнений в виде

$$X = X_n(\omega) \cos(n\varphi + \gamma_n), \quad Y = Y_n(\omega) \sin(n\varphi + \gamma_n)$$

где  $\gamma_n$  — постоянные величины, а  $n$  — целые числа.

Величины  $X_n$  и  $Y_n$  должны удовлетворять уравнениям

$$\frac{dX_n}{d\omega} - X_n + nY_n = 0, \quad \frac{dY_n}{d\omega} + Y_n - nX_n = 0$$

решения которых имеют вид

$$\begin{aligned} X_0(\omega) &= A_0 e^{+\omega}, & Y_0(\omega) &= B_0 e^{-\omega} & (n=0) \\ X_1(\omega) &= C_1 \omega + A_1, & Y_1(\omega) &= C_1 \omega + B_1 & (n=1) \\ X_n(\omega) &= C_n \cos(m\omega + \alpha_n) & Y_n(\omega) &= C_n \sin(m\omega + \beta_n) & (n \geq 2) \end{aligned} \quad (1.8)$$

причем постоянные  $A_1$ ,  $B_1$  и  $\alpha_n$ ,  $\beta_n$  связаны равенствами

$$A_1 - B_1 = C_1, \quad \beta_n - \alpha_n = \arcsin \frac{1}{n}, \quad m = \sqrt{n^2 - 1} \quad (1.9)$$

под  $\arcsin$  подразумевается его главное значение.

Решения уравнений (1.7), являющиеся периодическими функциями от  $\varphi$  с периодом  $2\pi$ , могут быть построены следующим образом:

$$X = A_0 e^{+\omega} + (C_1 \omega + A_1) \cos(\varphi + \gamma_1) + \sum_{n=2}^{\infty} C_n \cos(m\omega + \alpha_n) \cos(n\varphi + \gamma_n) \quad (1.10)$$

$$Y = B_0 e^{-\omega} + (C_1 \omega + B_1) \sin(\varphi + \gamma_1) + \sum_{n=2}^{\infty} C_n \sin(m\omega + \beta_n) \sin(n\varphi + \gamma_n)$$

где постоянные  $A_0$ ,  $B_0$ ,  $A_1$ ,  $B_1$ ,  $C_n$ ,  $\alpha_n$ ,  $\beta_n$ ,  $\gamma_n$  связаны равенствами (1.9).

Выведем контурные условия рассматриваемой задачи. Пусть уравнения гладкого выпуклого контура отверстия даны в виде  $x = x(\alpha)$ ,  $y = y(\alpha)$ , где  $\alpha$  — угол между осью  $x$  и касательной  $t$  к контуру (фиг. 1); вдоль этого контура задано равномерно распределенное нормальное давление  $\sigma_n = -kp$ ,  $\tau_{tn} = 0$ , причем  $p > 0$ .

Вспомним известные формулы преобразования компонентов напряжения при переходе от координат  $xy$  к системе  $tn$ :

$$\left. \begin{array}{l} \sigma_t \\ \sigma_n \end{array} \right\} = \frac{1}{2} (\sigma_x + \sigma_y) \pm \frac{1}{2} (\sigma_x - \sigma_y) \cos 2\alpha \pm \tau_{xy} \sin 2\alpha$$

$$\tau_{tn} = -\frac{1}{2} (\sigma_x - \sigma_y) \sin 2\alpha + \tau_{xy} \cos 2\alpha$$

Эти формулы могут быть в силу формул (1.3) преобразованы к виду

$$\left. \begin{array}{l} \sigma_t \\ \sigma_n \end{array} \right\} = k [\Lambda + 2\omega \pm \cos 2(\varphi - \alpha)], \quad \tau_{tn} = k \sin 2(\varphi - \alpha)$$

Решая эти уравнения при  $\tau_{tn} = 0$ ,  $\sigma_n = -kp$ , найдем

$$\varphi = \alpha + (\kappa - 1) \frac{\pi}{4} + n\pi, \quad 2\omega = \kappa - (\Lambda + p), \quad \sigma_t = k(2\kappa - p)$$

где  $n$  — произвольное целое число,  $\kappa = \pm 1$ .

Контурные значения  $\varphi$ ,  $\omega$  и  $\sigma_t$  при  $n = 0$ ,  $\kappa = \pm 1$ ,  $\Lambda = \kappa - p$  будут

$$\varphi = \alpha, \quad \omega = 0, \quad \sigma_t = k(2 - p)$$

а контурные значения  $X$ ,  $Y$  находятся по формулам (1.6). Имеем

$$X = X(\alpha) = -x(\alpha) \sin \alpha + y(\alpha) \cos \alpha, \quad Y = Y(\alpha) = x(\alpha) \cos \alpha + y(\alpha) \sin \alpha$$

Так как

$$dx/d\alpha = r \cos \alpha, \quad dy/d\alpha = r \sin \alpha$$

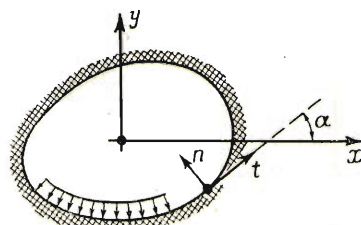
где  $r$  — радиус кривизны контура, то

$$Y(\alpha) = -X'(\alpha)$$

Предположим что функция  $X(\alpha)$  может быть представлена рядом Фурье:

$$X(\alpha) = X_0 + \sum_{n=1}^{\infty} X_n \cos(n\alpha + c_n)$$

Фиг. 1



Тогда функция  $Y(\alpha)$  найдется из равенства  $Y(\alpha) = -X'(\alpha)$ . Имеем

$$X(\alpha) = X_0 + \sum_{n=1}^{\infty} X_n \cos(n\alpha + c_n), \quad Y(\alpha) = \sum_{n=1}^{\infty} nX_n \sin(n\alpha + c_n) \quad (1.11)$$

Решение задачи о распределении напряжений дается формулами

$$X = X_0 \exp \omega - \sum_{n=1}^{\infty} nX_n \sin(m\omega - \varepsilon_n) \cos(n\varphi + c_n)$$

$$Y = \sum_{n=1}^{\infty} nX_n \cos m\omega \sin(n\varphi + c_n) \quad (1.12)$$

где  $X_0$ ,  $X_n$ ,  $c_n$  имеют те же значения, как и в формулах (1.11), причем

$$\varepsilon_n = \arcsin \frac{1}{n}, \quad m = \sqrt{n^2 - 1}$$

Действительно,  $X$  и  $Y$  суть периодические функции с периодом  $2\pi$ , а вдоль контура  $x = x(\alpha)$ ,  $y = y(\alpha)$ , т. е. при  $\omega = 0$ ,  $\varphi = \alpha$  правые части (1.11) и (1.12) совпадают.

Если оси  $x$  и  $y$  являются осями симметрии контура  $x = x(\alpha)$ ,  $y = y(\alpha)$ , то функция  $X(\alpha)$  будет четной, т. е.  $X(-\alpha) = X(\alpha)$ ; при этом в формулах (1.11) и (1.12) все постоянные  $c_n = 0$ .

В качестве примера рассмотрим овальный контур

$$x = +[a + b(\cos 2\alpha + 2)] \sin \alpha, \quad y = -[a + b(\cos 2\alpha - 2)] \cos \alpha \quad (1.13)$$

весьма близкий к эллипсу с полуосами  $a + b$  и  $a - b$ . Вдоль контура

$$X(\alpha) = -a + b \cos 2\alpha, \quad Y(\alpha) = 2b \sin 2\alpha$$

Решение задачи дается формулами

$$-X = a \exp \omega + 2b \sin \left( \sqrt{3}\omega - \frac{\pi}{6} \right) \cos 2\phi, \quad Y = 2b \cos (\sqrt{3}\omega) \sin 2\phi$$

Заметим, что функции (1.10) удовлетворяют уравнениям (1.7) при любом значении  $n$ . Отсюда легко получить различные частные решения уравнений пластичности.

Примером может служить частное решение, соответствующее  $n = 1$ :

$$X = (C_1 \omega + A_1) \sin \phi, \quad Y = -(C_1 \omega + A_1 - C_1) \cos \phi$$

взятое при  $\gamma_1 = -\pi/2$ .

Это решение на основании (1.3) и (1.6) после введения обозначений

$$A = \frac{2}{C_1} \quad B = \Lambda + 1 - \frac{2A_1}{C_1}$$

приводит к известным формулам А. Надаи

$$\sigma_x = k(B - Ax + \kappa 2\sqrt{1 - A^2 y^2}), \quad \sigma_y = k(B - Ax), \quad \tau_{xy} = kAy$$

где  $A$  и  $B$  — постоянные интегрирования,  $\kappa = \pm 1$ .

**§ 2. Плоское напряженное состояние.** Пластическое плоское напряженное состояние описывается компонентами напряжения  $\sigma_x$ ,  $\sigma_y$  и  $\tau_{xy}$ , так как компоненты  $\sigma_z = \tau_{xz} = \tau_{yz} = 0$ .

Рассмотрим пластическое состояние, вызываемое растягивающими напряжениями на бесконечности, пластинки с отверстием, ограниченным произвольным гладким выпуклым контуром, когда вдоль этого контура приложено равномерное нормальное давление. Исследование напряженного состояния проведем на основе теории пластичности Сен-Венана.

Выведем основные уравнения поставленной задачи.

Уравнения равновесия (1.1) и условие пластичности Сен-Венана, полученное в работах [1, 2],

$$(\sigma_x - \sigma_y)^2 + 4\tau_{xy}^2 = \sigma_s^2 \quad \text{при } \sigma_x \sigma_y \leq \tau_{xy}^2 \quad (2.1)$$

$$(\sigma_x - \sigma_y)^2 + 4\tau_{xy}^2 = (2\sigma_s - |\sigma_x + \sigma_y|)^2 \quad \text{при } \sigma_x \sigma_y \geq \tau_{xy}^2 \quad (2.2)$$

составляют систему уравнений плоского напряженного состояния.

Система уравнений (1.1) и (2.1) совпадает с уравнениями пластического плоского деформированного состояния (1.1) и (1.2) при  $k = \sigma_s/2$ , изученными в § 1; система уравнений (1.1) и (2.2) рассмотрена ниже.

Условие (2.2) тождественно удовлетворяется, если ввести новые переменные  $\varphi$  и  $\chi$ , связанные с компонентами напряжения соотношениями

$$\left. \begin{array}{l} \sigma_x \\ \sigma_y \end{array} \right\} = \sigma_s [\kappa(1 - \chi) \pm \chi \cos 2\varphi], \quad \tau_{xy} = \sigma_s \chi \sin 2\varphi \quad (2.3)$$

$(\kappa = \operatorname{sign} \sigma_x = \operatorname{sign} \sigma_y)$

где  $\varphi$  — угол между наибольшим главным нормальным напряжением и осью  $x$ . Подставляя эти выражения в уравнение (1.4), получим<sup>1</sup>

$$\sin 2\varphi \frac{\partial \varphi}{\partial x} - (\kappa + \cos 2\varphi) \frac{\partial \varphi}{\partial y} = 0, \quad (2.4)$$

$$\sin 2\varphi \frac{\partial \chi}{\partial x} - (\kappa + \cos 2\varphi) \frac{\partial \chi}{\partial y} + \kappa 2\chi \frac{\partial \varphi}{\partial x} = 0$$

Произведем замену переменных, принимая за аргументы  $\varphi$  и  $\omega$ , а за исходные функции  $x$ ,  $y$ . Подставим выражения (1.5) в уравнения (2.4) и введем вместо  $x$ ,  $y$  переменные  $X$ ,  $Y$ , согласно (1.6). Получим

$$\frac{\partial Y}{\partial \chi} = 0, \quad \chi \frac{\partial X}{\partial \chi} + X - \frac{\partial Y}{\partial \varphi} = 0 \quad \text{при } \kappa = +1$$

$$\frac{\partial X}{\partial \chi} = 0, \quad \chi \frac{\partial Y}{\partial \chi} + Y + \frac{\partial X}{\partial \varphi} = 0 \quad \text{при } \kappa = -1$$

Решения этих уравнений имеют вид

$$X = \frac{\Phi(\varphi)}{\chi} + Y'(\varphi), \quad Y = Y(\varphi) \quad \text{при } \kappa = +1 \quad (2.5)$$

$$Y = \frac{\Psi(\varphi)}{\chi} - X'(\varphi), \quad X = X(\varphi) \quad \text{при } \kappa = -1 \quad (2.6)$$

Выведем контурные условия поставленной задачи.

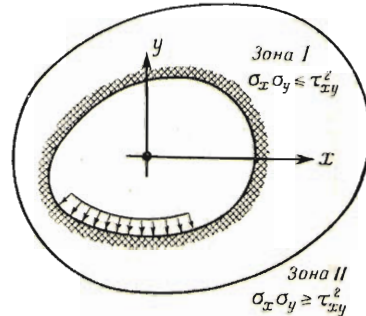
Пусть уравнения гладкого выпуклого контура отверстия попрежнему даны в виде  $x = x(\alpha)$ ,  $y = y(\alpha)$ , где  $\alpha$  — угол между осью  $x$  и касательной  $t$  к контуру (фиг. 2); вдоль контура приложено равномерное нормальное давление  $\sigma_n = -kp$ ,  $\tau_{tn} = 0$ , причем  $p > 0$ .

При пластическом напряженном состоянии пластинки будут иметь место две зоны: в некоторой зоне I вблизи отверстия  $\sigma_x \sigma_y \leq \tau_{xy}^2$  и напряженное состояние описывается уравнениями (1.1) и (2.1); во внешней зоне II вдали от отверстия  $\sigma_x \sigma_y \geq \tau_{xy}^2$  и напряженное состояние определяется уравнениями (1.1) и (2.2).

На границе этих зон все компоненты напряжения непрерывны. Прививая компоненты  $\sigma_x$ ,  $\sigma_y$  и  $\tau_{xy}$ , определенные формулами (1.3), в которых  $k = \sigma_s / 2$ , и формулами (2.3), найдем

$$2\omega = \kappa - \Lambda, \quad 2\chi = 1, \quad \varphi_{II} = \varphi_I + n\pi$$

где  $n$  — произвольное целое число.



Фиг. 2

<sup>1</sup> Интегралы этих уравнений были получены автором ранее [1].

Значения  $\omega$ ,  $\chi$  на границе между зонами I и II при  $n=0$ , будут

$$2\omega = p, \quad 2\chi = 1$$

Решение задачи о распределении напряжений в зоне I, где  $\sigma_x \sigma_y \leq \tau_{xy}^2$ , определяется формулами (1.3) и (1.12) при  $k = \sigma_s / 2$ , причем вдоль границы зоны I и II

$$\begin{aligned} X &= X_0 \exp \frac{p}{2} - \sum_{n=1}^{\infty} n X_n \sin \left( \frac{mp}{2} - \varepsilon_n \right) \cos (n\varphi + c_n) \\ Y &= \sum_{n=1}^{\infty} n X_n \cos \frac{mp}{2} \sin (n\varphi + c_n) \end{aligned} \quad (2.7)$$

Уравнение границы на плоскости  $xy$  в параметрической форме получится, если подставить выражения (2.7) в формулы (1.6).

Решение задачи о распределении напряжений в зоне II, где  $\sigma_x \sigma_y \geq \tau_{xy}^2$ , дается (2.3) и (2.5), причем произвольные функции  $Y(\varphi)$  и  $\Phi(\varphi)$  находятся из сравнения  $X$  и  $Y$  в формулах (2.7) и (2.5) при  $2\chi = 1$ . Имеем

$$\begin{aligned} X &= \frac{X_0}{2\chi} \exp \frac{p}{2} + \sum_{n=1}^{\infty} n X_n \left\{ n \cos \frac{mp}{2} - \frac{m}{2\chi} \cos \left( \frac{mp}{2} - \varepsilon_n \right) \right\} \cos (n\varphi + c_n) \\ Y &= \sum_{n=1}^{\infty} n X_n \cos \frac{mp}{2} \sin (n\varphi + c_n) \end{aligned} \quad (2.8)$$

Если оси  $x$  и  $y$  являются осями симметрии контура  $x = x(\alpha)$ ,  $y = y(\alpha)$ , то все постоянные  $c_n = 0$ .

В качестве примера рассмотрим овальный контур (1.13). Решение задачи о распределении напряжений в зоне I, где  $\sigma_x \sigma_y \leq \tau_{xy}^2$ , определяется формулами (1.3) и (1.14) при  $k = \sigma_s / 2$ , причем вдоль границы зоны I и зоны II будет

$$-X = a \exp \frac{p}{2} + 2b \sin \left( \frac{\sqrt{3}}{2\chi} p - \frac{\pi}{6} \right) \cos 2\varphi, \quad Y = 2b \cos \frac{\sqrt{3}}{2} p \sin 2\varphi \quad (2.9)$$

Уравнение границы на плоскости  $xy$  получится в результате подстановки выражений (2.9) в формулы (1.6).

Решение задачи о распределении напряжений в зоне II, где  $\sigma_x \sigma_y \geq \tau_{xy}^2$ , имеет вид

$$\begin{aligned} -X &= \frac{a}{2\chi} \exp \frac{p}{2} + 2b \left[ \frac{\sqrt{3}}{2\chi} \cos \left( \frac{\sqrt{3}}{2\chi} p - \frac{\pi}{6} \right) - 2 \cos \frac{\sqrt{3}}{2} p \right] \cos 2\varphi \\ Y &= 2b \cos \frac{\sqrt{3}}{2} p \sin 2\varphi \end{aligned} \quad (2.10)$$

В заключение отметим, что изложенный прием определения напряжений, основанный на применении тригонометрических рядов, можно применить также при решении других плоских задач теории пластичности.

Поступила в редакцию

18 I 1949

#### ЛИТЕРАТУРА

Институт механики

АН СССР

1. Соколовский В. В. Теория пластичности. Изд. АН СССР. 1946.
2. Соколовский В. В. Пластическое равновесие при плоском напряженном состоянии по Сен-Венану. ПММ. 1946. т. X, вып. 2.